

I-296

強震動の応答スペクトルと表層地盤

東北学院大学大学院 学生員 ○熱海 裕章
東北学院大学工学部 正員 志賀 敏男

1.はじめに 1968年十勝沖地震、1978年宮城県沖地震等で得られた強震記録の応答スペクトルとスペクトル強さについて、その特性と観測点表層地盤との関係を検討し、それらの定式化を試みた結果を示す。

2.取り扱った地震と観測点の表層地盤 応答スペクトルとスペクトル強さに関する検討は、表1に示す8ヶの地震、14ヶ所の観測点で得られた総計58ヶの強震記録（水平2成分）について行った。これらの地震は何れもMが6.5以上で、観測点までの震央距離が40~290Kmである。強震記録の最大加速度は、宮城県北部地震、2つの十勝沖の地震（1968.6.12、1968.9.21）を除くと、66~432galになっている。観測点の表層地盤を4種類（建築基準法旧施行令の地盤種別にほぼ相当）に大別すると表1のようになる。

3.応答スペクトル・スペクトル強さの特性と観測点表層地盤 応答スペクトルとスペクトル強さは、相互の対比を容易にするために、強震記録の最大加速度振幅を、980galに拡大、統一して求めた。また、減衰定数をh=0.05とした。さらに、得られた応答スペクトルは、その特性と観測点表層地盤との関係をとらえ易くするために、上記の4種類の表層地盤ごと、水平2成分ごとに分け、重ね合わせて描いた。そのNS成分の結果を図1(a)~(d)に示す。図1をみると、各表層地盤ごとに、応答スペクトルがかなりよく重なり合っていることが分かる。また、地盤が軟らかくなるに従って、応答加速度がほぼ一定な領域が終わり、応答加速度が減少し始まる固有周期が大幅に長くなっていることが分かる。

次に、スペクトル強さの4種類の表層地盤ごとの平均値を表2に示しておく。地盤が軟らかくなるに従って、その値が大幅に大きくなっていることが分かる。

4.応答スペクトル・スペクトル強さの定式化 4種類の表層地盤ごとに重ね合わせて描いた応答スペクトルの何れをも包絡すること、上記の応答スペクトルの特性を的確に反映させること、かつ固有周期に対して応答加速度が線形増、応答加速度、速度、変位それぞれが一定の4領域をこの順に設定することによって、応答スペクトルの定式化を試みた。その結果を下の(1)~(3)式に示し、図1(a)~(d)に併記しておく。

次に、(1)式から4種類の地盤ごとにスペクトル強さを求めると、(4)式のようになる。これらの値($K_G=1$)に対する上記の地盤ごとの平均値の割合は表2のようになり、I~III種の地盤では約40%の値が、IV種の地盤では約60%の値が上記の平均値とみなしえることが分かる。

$$\left. \begin{array}{l} \text{速度応答 } S_v = 570K_G T \quad 0.15 < T < T_1 \\ \text{スペクトル } 570K_G T_1 \quad T_1 < T < 3 \\ \qquad\qquad\qquad 1710K_G T_1 / T \quad 3 < T < 5 \end{array} \right\} (1) \quad \left. \begin{array}{l} \text{加速度応答 } S_A = 3600K_G \quad 0.15 < T < T_1 \\ \text{スペクトル } 3600K_G T_1 / T \quad T_1 < T < 3 \\ \qquad\qquad\qquad 10800K_G T_1 / T^2 \quad 3 < T < 5 \end{array} \right\} (2)$$

$$\left. \begin{array}{l} \text{変位応答 } S_d = 90K_G T^2 \quad 0.15 < T < T_1 \\ \text{スペクトル } 90K_G T_1 T \quad T_1 < T < 3 \\ \qquad\qquad\qquad 270K_G T_1 \quad 3 < T < 5 \end{array} \right\} (3) \quad \left. \begin{array}{l} \text{スペクトル } S_I = 850K_G \quad I \text{種地盤} \\ \text{強さ } 1140K_G \quad II \\ \qquad\qquad\qquad 1490K_G \quad III \\ \qquad\qquad\qquad IV \end{array} \right\} (4)$$

ここに K_G : 地動の震度

T : 一質点系の固有周期(S)

T_1 : 表層地盤の硬軟によって決まる係数(S)、その値は次のとおり

I種地盤 0.3 II種地盤 0.7 III種地盤 1.0 IV種地盤 1.5

5. おわりに 以上、応答スペクトルの定式化を、観測点表層地盤の硬軟によって試みた結果について報告した。

貴重なデータを提供してくださった、運輸省港湾技術研究所、建設省土木研究所、同建築研究所の諸機関並びに東北大学の柴田教授に深甚な謝意を表します。また、この報告のまとめに協力してくれた東北学院大学志賀研究室の卒論学生諸君に感謝します。

表1 地震概要と観測点表層地盤の種別

地震	年月日	M	震度	震源 距離 深さ(km)	観測点	観測点 距離(km)	震央 距離(km)	最大加速度(gal)	S I (cm)	
								NS	EW	
1 宮城県 北部	62.4.30	6.5	N 38° 07' E141° 07'	10	東北大学 (仙台市内)	II	40	58	48	
2 1968年 十勝沖	68.5.16	7.8	N 40° 42' E143° 42'	20	① 横浜港工事事務所 ② 八戸港工事事務所 ③ 古吉港工事事務所 ④ 鹿児島港工事事務所	IV	240	211	179	178 155
					III	198	225	186	105 148	
					II	198	197	112	14 18	
					I	290	205	135	78 69	
3 十勝沖	68.5.16	7.5	N 41° 25' E142° 51'	40	二 三 四	I	220	90	76	11 9
					II	200	95	75	22 25	
4 10勝沖	68.6.12	7.5	N 39° 25' E143° 07'	0	一 二 三 四	IV	250	19	24	20 22
					III	190	35	31	16 14	
					II	190	110	95	11 14	
5 10勝沖	68.9.21	6.9	N 41° 58' E142° 48'	80	一 二 三 四	IV	220	28	24	20 25
					III	210	35	25	16 15	
					II	240	46	40	9 10	
6 宮城県沖	78.2.20	6.7	N 38° 45' E142° 12'	50	① 国交省理局 ② 東北大学工学部 ③ 住友金属仙台支店 ④ 七十七銀行本店 ⑤ 岩手港工事事務所 ⑥ 鹿児島港工事事務所 ⑦ 関西電	II	130	161	126	53 43
					III	130	170	114	64 63	
					II	130	105	101	45 36	
					III	130	99	66	33 34	
					II	110	104	126	30 61	
					I	90	76	142	14 13	
7 1978年 宮城県沖	78.6.12	7.4	N 38° 09' E142° 10'	40	一 二 三 四 五 六 七 八 九 十 十一 十二 十三 十四	II	110	432	233	164 99
					III	258	248	174 116	116 86	
					II	257	241	136 96	96 76	
					III	110	235	146	118 84	
					II	110	256	273	136 172	
					I	80	192	271	22 67	
					II	120	235	185	70 51	
8 1983年	83.5.26	7.7	N 40° 21'	14	一 二 三 四 五 六 七 八 九 十 十一 十二 十三 十四	IV	156	95	116	99 126
					III	107	190	205	151 145	
					IV	137	238	278	178 236	

注: ①岩盤 ②主として冲積層 ③主として冲積層 ④若しく軟弱な地盤 $S I = \int_{0.03}^{T_{max}} S_d^2 dT$

表2 (4)式の値対振幅拡大記録のS I 平均値

地盤種別	拡大記録平均値 (a)	左記(a) (4)式
I種	164	0.41
II	363	0.43
III	503	0.44
IV	912	0.61

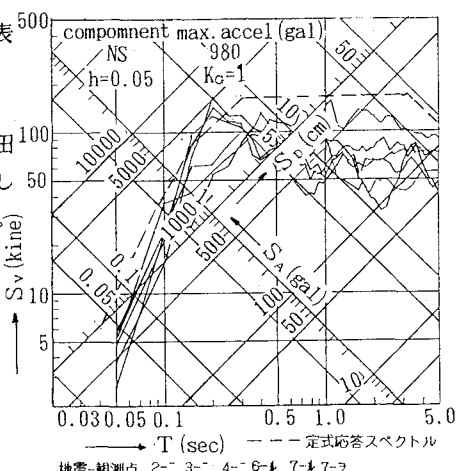


図1・(a) I種地盤

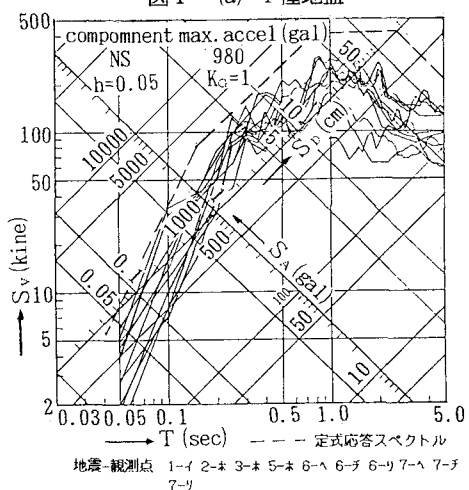


図1・(b) II種地盤

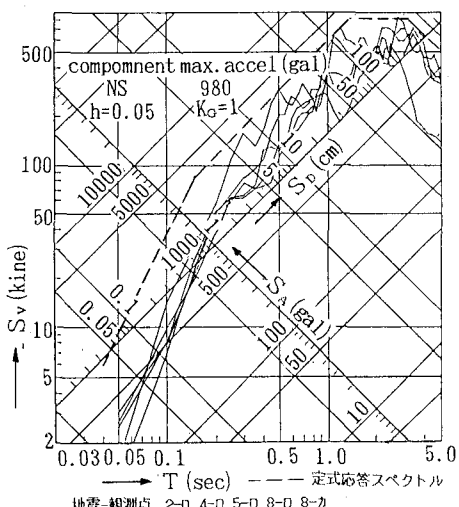


図1・(d) IV種地盤

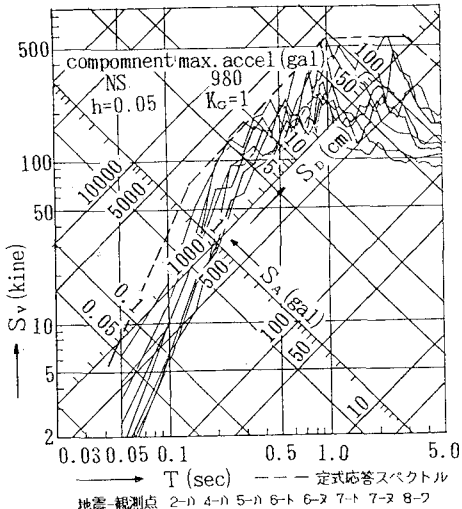


図1・(c) III種地盤